• 短篇报道 •

影像学上为实性肿块的附件高级别浆液性腺癌1例*

朱 蓉 张 娅* 王关顺 谭 静 艾丛慧 钟穗兴 顾尚尉 沈 婧

昆明医科大学第三附属医院放射科(云南昆明650118)

【关键词】高级别浆液性腺癌;实性肿块;附件;影像学

【中图分类号】R445

【文献标识码】D

【基金项目】云南省科技厅-昆明医科大学应用基础研究联合专项面上项目(2019FE001-246);云南省教育厅科学研究基金项目(2021J0259)

DOI:10.3969/j.issn.1009-3257.2023.06.062

High-grade Serous Adenocarcinoma of Adnexal with Solid Mass on Imaging: One Case Report*

ZHU Rong, ZHANG Ya*, WANG Guan-shun, TAN Jing, Al Cong-hui, ZHONG Sui-xing, GU Shang-wei, SHEN-Jing. Department of Radiology, The Third Affiliated Hospital of Kunming Medical University

Keywords: High-Grade Serous Adenocarcinoma; Solid Tumors; Computed Tomography Imaging; Magnetic Resonance Imaging

患者,女性,43岁,因"无明显诱因出现阴道流液2月,下 腹阵发性胀痛7天"就诊。患者既往体健。专科检查: 左、右侧 附件区分别触及一类圆形肿块,直径分别约7cm、10cm,边缘 尚清,质硬,触之不活动。实验室检查:肿瘤标记物CA125: 326.40kU/L(正常值: 0 kU/L -35 kU/L), CA153: 259.8kU/ L(正常值: ≤25kU/L), CA724: 40.96kU/L(正常值: 0 kU/ L-6.9kU/L), HE4: 282.5kU/L(正常值: 0 kU/L-105.1kU/L), PRE-ROMA: 85.75%(正常值: ≤11.65%)。影像学检查: 腹盆腔CT示双侧附件区软组织肿块,左、右侧大小分别为 7.7cm×7.3cm×7.0cm、9.7cm×5.8cm×6.1cm,病灶形态 欠规则,似由多个病灶融合而成,平扫呈不均匀等密度,平均 CT值约50HU,增强动脉期、静脉期均呈轻度欠均匀强化,平均 CT值分别约64HU、70HU,病灶内见坏死区。MRI示上述双侧 附件区肿块为实性,呈分叶状,T1WI呈等信号,T2WI呈不均匀 稍高信号,肿瘤内见出血、坏死,DWI示病灶扩散受限,平均 ADC值约 0.717×10^{-3} mm²/s,增强动脉期示病灶呈轻度强化, 病灶内见增粗强化的肿瘤血管,静脉期示病灶进一步强化,强 化不均;伴左侧输卵管扩张积液,管径约1.0cm;腹膜返折处腹 膜增厚伴两枚结节,结节大小分别约1.1cm×1.0cm×0.8cm、 0.6cm×0.5cm×0.4cm,其信号及强化方式同上;另外盆腔可见 少量积液。

患者行卵巢癌全面分期术(扩大全子宫+双侧附件切除术+阑尾及大网膜切除术+腹膜后淋巴结清扫术)。术中所见:左输卵管明显增大,大小约9cm×8cm×6cm,包膜完整,左卵巢外观正常。右卵巢呈实性,大小约9cm×7cm×5cm,包膜完整,可活动,右输卵管未探及异常。盆底结节,大小约2.5cm×1.5cm×1.0cm,质硬,与子宫后壁、直肠窝粘连。子宫正常大小,外观正常。腹主动脉旁未触及明显肿大淋巴结。镜下所见:左右卵巢、左输卵管癌细胞层次增多,异型性明显,大小形状不一,可见瘤巨细胞,伴异常核分裂。免疫组化结果:右卵巢肿块:CA-125(+),PR(+),ER(+),P16(部分+),P53(+),Vim(部分+),Ki-67(+约20%),CK(+),CK 7(+),L-CK(+),H-CK(弱+),WT-1(+)。左输卵管伞端肿块:PR(+),ER(+),P16(+),P53(+),CD68(部分+),Ki-67(+约40%),L-CK(+)、H-CK7(+),CK7(+),CK(+),WT-1(+)。病理诊断:双附件高级别浆液性腺癌。临床诊断:卵巢高级别浆液性腺癌FIGO II b期。

讨论

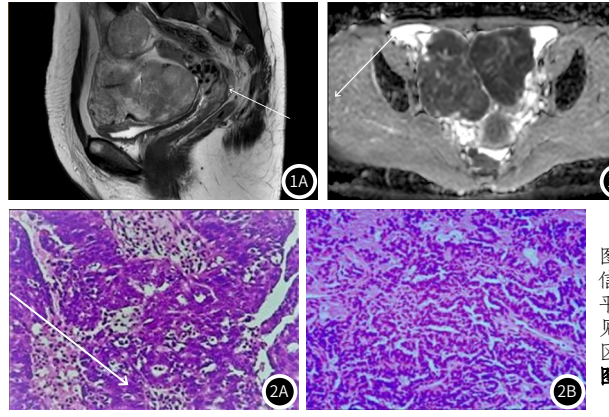
卵巢癌是致死率最高的妇科恶性肿瘤,上皮性卵巢癌 (Epithelial ovarian cancer,EOC)是最常见的卵巢癌,占卵巢癌的90-95%,其中,高级别浆液性腺癌(High-grade serous cancer,HGSC)是最常见的上皮性卵巢癌,约占EOC的70%,也是EOC最致命的亚型,5年生存率 \leq 30% [1]。HE4、CA125在卵巢上皮性肿瘤中呈高表达状态,并且与患者预后生存关系密切 [2],HGSC具有高度侵袭性,易发生广泛腹膜种植转移 [3]。HGSC在影像学上常表现双侧附件区形态不规则、血管增多的囊实性肿块,实性成分可包含广泛的坏死和(或)出血;并伴有腹水、大网膜或腹膜转移结节 [4]。

卵巢浆液性癌来源于向输卵管上皮化生的卵巢生发上皮, 因此,卵巢高级别浆液性癌与输卵管癌病理上类似[5]。本病例中 左侧为输卵管高级别浆液性癌,右侧为卵巢高级别浆液性癌,二 者影像学表现类似,这也与二者的类似病理表现相符合。本病 例中双侧附件区肿块均呈实性,并不属于HGSC典型的影像学表 现,加上肿块DWI呈明显高信号,ADC值比较低,影像学上首先 应与卵巢淋巴瘤鉴别。卵巢淋巴瘤表现为双侧附件的实性肿块, 分叶状,T₂WI呈等信号,内见分隔样高信号,DWI及ADC序列扩 散受限明显,增强扫描强化均匀,但卵巢淋巴瘤通常在肿瘤边缘 还能观察到卵巢的部分正常结构,即在肿瘤边缘可见呈线样排列 的卵泡存在[5],这是卵巢淋巴瘤的一个重要影像学征象。此外, 卵巢淋巴瘤常伴有局部区域或全身其他部位的肿大淋巴结、肝 脾肿大等征象。本病例病灶中伴有坏死、出血,看不到正常卵 巢结构,不伴有全身其他部位的肿大淋巴结,一定程度上可与淋 巴瘤鉴别。其次,本病例还应与卵巢转移瘤鉴别。卵巢转移瘤约 60-80%为双侧发生,原发肿瘤大多数来自胃、结肠和乳腺 [6] 卵巢转移性结直肠癌通常表现为发生在双侧卵巢的囊性肿块[7], 而Krukenberg瘤和来自乳腺的转移瘤则通常表现为实性肿块。 Krukenberg瘤典型的影像学表现是双侧卵巢分叶状的实性肿块, 在T₂WI上表现可表现为高低不等信号,增强明显强化^[8] 移性乳腺癌多表现为双侧相对较小的肿块,呈多结节状^[9]。该患 者较年轻,没有其他部位的恶性肿瘤病史,本病例可与之鉴别。

SHETTY M等研究发现,与囊性肿瘤相比,卵巢实性肿瘤仅占所有卵巢肿瘤的23.4%,在卵巢实性肿瘤中,卵巢上皮性肿瘤占28.2%,生殖细胞肿瘤占22.2%、性索基质肿瘤21.4%,卵巢

转移瘤占19.7%[10]。卵巢浆液性癌早期临床表现不明显,大部分 患者发现时已处于晚期。而患者的预后与临床分期密切相关,及 早诊断并采取有效的治疗措施有利于提高患者生存时间[11] 此,在影像诊断工作中,对于影像学上表现为实性肿块的双侧附

件病变,影像诊断时始终应考虑到浆液性癌的可能性。影像表现 结合患者的临床表现、肿瘤标志物、相关病史等综合考虑,才能 作出正确的诊断。



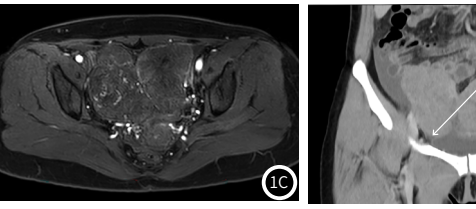




图1: MRI示双侧附件肿块为实性、分叶状, T2WI矢状位(图1A)呈不均匀稍高 信号,腹膜返折处可见两枚癌结节(实线箭头); ADC图(图1B)病灶呈低信号, 平均ADC值约0.717×10⁻³mm²/s; MR增强动脉期(图1C)病灶轻度强化,病灶内 见强化的肿瘤血管,可见扩张的左输卵管(实线箭头),肿瘤内见无强化坏死 区。CT增强冠状位(图1D)示病灶强化不均,盆腔少量积液(实线箭头)。图2: 图2A 右卵巢肿块(HE, ×40); 图2B 左输卵管肿块(HE, ×100)。

参考文献

- [1] ELSHERIF SB, BHOSALE PR, LALL C, et al. Current update on malignant epithelial ovarian tumors[J/OL]. Abdominal Radiology(NY), 2021, 46 (6): 2264-2280.
- [2] 毛爱荣, 袁晓雁, 程芳, et al. HE4、CA125及CEA在卵巢癌中的表达及与病理特征、预 后的关系研究[J/0L]. 罕少疾病杂志, 2022, 29(4): 45-47.
- [3] STEIN EB, WASNIK AP, SCIALLIS AP, et al. MR Imaging Pathologic Correlation in Ovarian Cancer[J/OL]. Magnetic Resonance Imaging Clinics of N Am, 2017, 25(3): 545-562.
- [4] MUKUDA N, FUJII S, INOUE C, et al. Bilateral Ovarian Tumors on MRI: How Should We Differentiate the Lesions?[J/OL]. Yonago Acta Med, 2018, 61(2):110-116.
- 郭丽, 王忱, 张萍, 等. 高级别浆液性卵巢癌的分子遗传学研究进展[J/0L]. 中国实用 妇科与产科杂志, 2021, 37(9): 982-984.
- [6] KOYAMA T, MIKAMI Y, SAGA T, et al. Secondary ovarian tumors: spectrum of CT and MR features with pathologic correlation [J/0L]. Abdom

Imaging, 2007, 32(6): 784-795.

- [7] KUBEČEK O, LACO J, ŠPAČEK J, et al. The pathogenesis, diagnosis, and management of metastatic tumors to the ovary: a comprehensive review[J/ OL]. Clin Exp Metastasis, 2017, 34(5): 295-307.
- [8] MUKUDA N, ISHIBASHI M, MURAKAMI A, et al. Ovarian solid tumors: MR imaging features with radiologic - pathologic correlation[J/OL]. Jpn J Radio1, 2020, 38 (8): 719-730.
- [9] TIAN W, ZHOU Y, WU M, et al. Ovarian metastasis from breast cancer: a comprehensive review[J/OL]. Clin Transl Oncol, 2019, 21(7): 819-827.
- [10] SHETTY M. Imaging and Differential Diagnosis of Ovarian Cancer[J/OL]. Semin Ultrasound CT MR, 2019, 40(4): 302-318.
- [11]张占超,王娟丽,王晓丽,等. CT联合超声检查对卵巢恶性肿瘤及临床分期的诊断价 值[J/0L]. 罕少疾病杂志, 2021, 28(3): 77-78.

(收稿日期: 2022-04-25) (校对编辑: 孙晓晴)

(上接第171页)

值降低,即表现为CT值下降[16]。由此可见,椎体松质骨CT值与 骨质疏松情况呈现明显正相关关系。

本研究过程中发现腰1-3椎体CT值、有效原子系数及OCT值 均呈递减趋势,与蒋^[17]等对胸腰椎骨密度分析,椎体体积骨密度 (vBMD)依次从胸11到腰3持续降低的结果相符合。是否可以用腰 2椎体的数据来代替平均值,这也将是后续研究的一个方向。

研究发现,评估骨密度正常时2项指标联合的AUC(0.997)诊断效 能等于椎体CT值(0.997)优于Z值(0.992);评估骨质疏松时2项 指标联合的AUC(0.990)诊断效能优于椎体CT值(0.988)优于Z值 (0.981)。诊断骨质正常截断值: 椎体CT值≥146.465HU约登指数 为0.964, Z值≥8.755约登指数为0.923; 诊断骨质疏松截断值: 椎体CT值≤100.085HU约登指数为0.912, Z值≤8.485约登指数 为0.845。椎体CT值、有效原子系数均能较准确定量评估腰椎骨 密度,2项指标联合最能提高骨密度诊断效能。我们知道OCT是 目前最准确的骨密度测量方法,但QCT测量需要特定的体模及后 处理软件,很多基层医院未能普及,而CT机大部分基层医院均已 配备,临床医生只需要在PACS系统上就可以测得椎体CT值,如 果再加上能谱CT有效原子系数支持,这2项指标联合则更能为骨 密度的诊断提供强大的助力与信心。

本研究也存在一些局限性。首先,CT值、有效原子系数并 不是最终诊断骨密度的工具,只是一种评估骨密度手段。其次, 本研究样本量仅212例,仍然需要扩大样本量来进一步统计和分 析。最后,本研究其他CT机型号是否同样适用仍需验证。

综上所述,腰椎椎体CT值、有效原子系数与QCT骨密度的相 关性极强,椎体CT值、有效原子系数定量评估腰椎骨密度准确性 高,尤其是2项指标联合更能提高诊断效能。相较于QCT测量骨 密度,测量椎体CT值及有效原子系数的方法更简便、更易推广, 是一种简单可行的骨密度替代性评估方法,有望用于临床患者骨 密度的评价及随访,值得临床推广应用。

参考文献

- [1] Genant HK, Cooper C, Poor G, et al. Interim report and recommendations of the World Health Organization TaskForce for Osteoporosis[J].OsteoporosI nt. 1999, 10(4): 259264.
- [2]杨震宇. 金天格胶囊治疗2型糖尿病合并骨质疏松症的效果及对患者骨密度、骨代 谢的影响[J]. 罕少疾病杂志, 2022, 29(12): 83-84+87.
- [3] 段克友, 刘翔宇, 熊风, 等. 绝经后骨质疏松症患者发生骨质疏松性椎体压缩骨折危 险因素分析[J]. 山东医药, 2021, 61 (24): 34-38.
- [4]代文. 骨质疏松性椎体压缩骨折患者经PVP术与PKP术治疗后再发骨折并发症的长期 随访比较[J]. 罕少疾病杂志, 2019, 26(5): 69-72+99. [5] 郭郡浩, 赵智明, 姚茹冰等. 女性腰椎侧位与后前位骨密度的相关性研究[J]. 实用临
- 床医药杂志2009,13(1): 47-51 [6]程晓光,李勉文,李娜,等. 定量CT骨密度测量(QCT)在骨质疏松症诊治中的临床应用
- 2007国际临床骨密度学会(ISCD)共识摘录[]]. 中国骨质疏松杂志, 2012, 18(11): 969-974. [7] Engelke K, Adams JE, Armbrecht G, et al. Clinical use of computed
- and[28]quantitative tomographyperipheralquantitative computed tomography in the management of成osteoporosis inadults:the2007ISCD OfficialPositions-162.
- [8] 张雪琴, 程晓光, 甘利伟, 汪晓琴. 椎体脆性骨折多模态影像的诊断价值比较[J]. 中 国CT和MRI杂志, 2018, 16(05): 147-150.
- [9]徐汝建,康露,向映光,等.宝石能谱CTGSI成像和常规成像在上腹部应用价值的对比 研究[J]. 现代生物医学进展, 2018, 18 (15): 140 - 143, 151. [10] 陈时洪, 汪青山, 陈国健. 广州地区中老年腰椎骨密度定量CT (QCT) 测量分析[J]. 中
- 国CT和MI杂志, 2012, 10 (04): 98-100. [11] 李凯, 陈捷, 赵林芬, 等. 中国人群定量CT (QCT) 脊柱骨密度正常参考值的建立和骨质
- 疏松症QCT诊断标准的验证[J]. 中国骨质疏松杂志, 2019, 25 (9): 1257-1262, 1272. [12] 陈民, 张艳, 袁慧书快速千伏切换能谱 CT 与 QCT 测定样体骨密度的相关性及一
- 比分析[J]. 放射学实践, 2018, 33(11): 1198-1201.
- [14] 程晚光, 王亮, 曾强, 等, 中国定量CT (QCT) 骨质疏松症诊断指南 (2018) [J]. 中国骨质疏松杂志, 2019, 25 (6): 733-737.
- [15] 刘云,李培岭,郭永杰,等中老年骨质疏松症患者腰1⁻³椎体骨密度值与CT值相关性研究[J]. 风湿病与关节炎, 2021, 10(6): 29-31.
- [16] 陈伟慧, 郑文龙, 吴爱琴. 双能 X 线骨密度仪与MSCT对腰椎骨密度测量和诊断价值 对比. 实用放射学杂志, 2013, 29(12): 2017-2019, 2028.
- [17] 蒋新新, 钱伟军, 李立. 中老年人群中不同胸腰椎骨密度的定量CT分析[J]. 中国CT 和MRI杂志, 2022, 20(5): 179-182.

(收稿日期: 2022-09-25) (校对编辑: 孙晓晴)